

ДИНАМИЧЕСКИЙ РАСЧЕТ БЕСКОНЕЧНОЙ ПЛИТЫ ПРИ ДЕЙСТВИИ РАВНОМЕРНО-РАСПРЕДЕЛЕННОЙ НАГРУЗКИ

Байтүптүн конструкциясынын чыңалган-деформацияланган абалынын маселелерин негиздиктин ар кандай моделдерин пайдаланып чечүүлөр каралган.

Рассмотрено решение задачи напряженно-деформированного состояния конструкции фундаментов с использованием различных моделей основания.

Solutions of tasks for the tensioned-deformed conditions of basement structures, by using different models of ground, are considered.

Динамические контактные задачи для фундаментных балок и плит на упругом полупространстве при осесимметричных гармонических колебаниях конструкций фундаментов с использованием различных моделей основания были решены Л.П.Винокуровым, Б.Г.Кореневым, Н.А.Николаенко, В.М.Сеймовым, А.С.Яковлевым, А.П.Филипповым другими учеными /2/.

Рассмотрим решение задачи напряженно-деформированного состояния бесконечной плиты со свободным краем для различных моделей оснований и равномерно распределенной нагрузки.

Деформация бесконечной плиты от заданной нагрузки можно определить из выражения:

$$\omega_{\infty}(x, y) = (4\pi)^{-2} \int_{-\infty}^{\infty} \int_{-\infty}^{\infty} \varepsilon^{-1}(\xi, \eta) Q_0(\xi, \eta) e^{-i\xi x - i\eta y} d\xi d\eta,$$

(1)

где $Q_0(\xi, \eta)$ – трансформанта Фурье заданной нагрузки $q_0(x, y)$.

Для нагрузки, равномерно распределенной по площадке размером $2a_0 \times 2b_0$ с центром в точке (x_0, y_0) и интенсивностью $q=I$:

$$Q_0(\xi, \eta) = 4q(\xi, \eta)^{-1} \text{Sin} \xi a_0 \cdot \text{Sin} \eta b_0 e^{i\xi x_0 + i\eta y_0}$$

(2)

Выражения прогиба, изгибающих моментов и приведенных поперечных сил в этом случае с учетом (2) запишутся:

$$\begin{aligned}
 \omega(x, y) &= \int_0^\infty \int_0^\infty \frac{4q \sin \xi a_0 \sin \eta b_0}{\xi \cdot \eta} \cdot \frac{1}{\pi^2} \cdot \frac{\cos \xi(x - x_0) \cos \eta(y - y_0) d\xi d\eta}{\left[(\xi^2 + \eta^2)^2 + 1 + C(\xi, \eta) \right]}, \\
 M_{x, \infty}(x, y) &= \int_0^\infty \int_0^\infty \frac{4q \sin \xi a_0 \sin \eta b_0}{\xi \cdot \eta} \cdot \frac{1}{\pi^2} \cdot \frac{(\xi^2 + \gamma \eta^2) \cos \xi(x - x_0) \cos \eta(y - y_0) d\xi d\eta}{\left[(\xi^2 + \eta^2)^2 + 1 + C(\xi, \eta) \right]}, \\
 M_{y, \infty}(x, y) &= \int_0^\infty \int_0^\infty \frac{4q \sin \xi a_0 \sin \eta b_0}{\xi \cdot \eta} \cdot \frac{1}{\pi^2} \cdot \frac{(\eta^2 + \gamma \xi^2) \cos \xi(x - x_0) \cos \eta(y - y_0) d\xi d\eta}{\left[(\xi^2 + \eta^2)^2 + 1 + C(\xi, \eta) \right]}, \\
 Q_{x, \infty}(x, y) &= \int_0^\infty \int_0^\infty \frac{4q \sin \xi a_0 \sin \eta b_0}{\xi \cdot \eta} \cdot \frac{1}{\pi^2} \cdot \frac{\left[\xi^2 + (2 - \gamma) \eta^2 \right] \cos \xi(x - x_0) \sin \eta(y - y_0) d\xi d\eta}{\left[(\xi^2 + \eta^2)^2 + 1 + C(\xi, \eta) \right]}, \\
 Q_{y, \infty}(x, y) &= - \int_0^\infty \int_0^\infty \frac{4q \sin \xi a_0 \sin \eta b_0}{\xi \cdot \eta} \cdot \frac{1}{\pi^2} \cdot \frac{\left[\eta^2 + (2 - \gamma) \xi^2 \right] \sin \xi(x - x_0) \cos \eta(y - y_0) d\xi d\eta}{\left[(\xi^2 + \eta^2)^2 + 1 + C(\xi, \eta) \right]}
 \end{aligned} \tag{3}$$

Для улучшения сходимости несобственных интегралов в полученных формулах и в дальнейшем использован известный прием /40/, с помощью которого исходный интеграл представляется в виде суммы двух слагаемых. Первые слагаемые соответствуют модели Винклера, а вторые – представляют собой добавку, двойной интеграл, сходящийся быстрее, чем исходный.

Трансформанты Фурье дополнительных нагрузок зависят от граничных условий и в рассматриваемом случае равны:

$$Q_{1k\pm}(\xi, \eta) = - \sum_{k=1}^k A_{1k\pm}(\xi) (\eta^2 + \gamma \xi^2) e^{i\eta[\pm(2k-1)b]},$$

(4)

$$Q_{2k\pm}(\xi, \eta) = - \sum_{k=1}^k A_{2k\pm}(\xi) i\eta (\eta^2 + (2 - \gamma) \xi^2) e^{i\eta[\pm(2k-1)b]},$$

(5)

Тогда выражения для прогибов в случае свободного края полос примут вид:

$$\omega(x, y) = \omega_\infty(x, y) + \sum_{k=1}^k \sum_{j=1}^2 \int_{-\infty}^\infty A_{jk\pm}(\xi) \varphi_{0jk}(\xi, y, \pm(2k-1)b) e^{-i\xi x} d\xi,$$

(6)

где

$$\begin{aligned}\varphi_{01k\pm}(\xi y, \pm(2k-1)b) &= t_2 + \gamma \xi^2 t_0, \\ \varphi_{02k\pm}(\xi y, \pm(2k-1)b) &= [t_2 + (2-\gamma)\xi^2 t_1], \\ t_\mu &= \pi^{-2} \int_0^\infty \eta^\mu \varepsilon^{-1}(\xi, \eta) \cos \eta [y \mp (2k-1)b] d\eta, (\mu = 0; 2) \\ t_\mu &= \pi^{-2} \int_0^\infty \eta^\mu \varepsilon^{-1}(\xi, \eta) \sin \eta [y \mp (2k-1)b] d\eta, (\mu = 1; 3)\end{aligned}$$

(7)

Выражения (6) содержат неизвестные функции $A_{jk\pm}(\xi)$, которые можно определить, используя граничные условия на контурах полос.

На линиях примыкания полос должны удовлетворяться граничные условия:

$$L_j(y, x) \omega(x, y) \Big|_{y=\pm(2k-1)b} = 0, \quad (j=1; 2)$$

(8)

Подставим (6) в (8) и введем следующие обозначения:

$$\varphi_{njk\pm}(\xi, y, \pm(2k-1)b) = e^{i\xi x} L_j(y, x) [\varphi_{0jk\pm}(\xi, y, \pm(2k-1)b) = e^{i\xi x}],$$

(9)

$$F_{jk}(x, y) = -L_j(y, x) [\omega_\infty(x, y)], (j = 1; 2)$$

(10)

Здесь индекс n соответствует номеру прогиба или усилия; $n=0$ соответствует прогибу ω ; $n=-1$ – изгибающему моменту M_y ; $n=2$ – изгибающему моменту M_x ; $n=3$ – приведенной поперечной силе Q_y ; $n=4$ – приведенной поперечной силе Q_x ; j – номер типа нагрузки; k – номер разреза.

Положив в (6) $y=\pm(2k-1)b$, получим следующие системы интегральных уравнений относительно неизвестных функций $A_{jk\pm}(\xi)$ при свободном опирании полос:

$$\begin{aligned}\sum_{k=1}^k \left[\sum_{j=1}^2 \int_{-\infty}^\infty A_{jk\pm}(\xi) \varphi_{1jk\pm}(\xi, \pm(2k-1)b, \pm(2k-1)b) e^{-i\xi x} d\xi = F_{1k\pm}(x, \pm(2k-1)b) \right], \\ \sum_{k=1}^k \left[\sum_{j=1}^2 \int_{-\infty}^\infty A_{jk\pm}(\xi) \varphi_{3jk\pm}(\xi, \pm(2k-1)b, \pm(2k-1)b) e^{-i\xi x} d\xi = F_{2k\pm}(x, \pm(2k-1)b) \right],\end{aligned}$$

(11)

Приведем эти системы к системам алгебраических уравнений. Для этого умножим все уравнения систем (11) на $e^{i\lambda x}$ и проинтегрируем. Учитывая соотношения

$$\frac{1}{2\pi} \int_{-\infty}^\infty e^{-i(\xi-\lambda)x} dx = \delta(\xi-\lambda) \quad \text{и} \quad \int_{-\infty}^\infty f(\xi) \delta(\xi-\lambda) d\xi = f(\lambda),$$

(12)

запишем вместо (11) следующие системы алгебраических уравнений для свободных краев полос:

$$\sum_{k=1}^k \left[\sum_{j=1}^2 A_{jk\pm}(\lambda) \varphi_{1,jk\pm}(\lambda, \pm(2k-1)b, \pm(2k-1)b) = f_{1k\pm}(\lambda, \pm(2k-1)b) \right],$$

$$\sum_{k=1}^k \left[\sum_{j=1}^2 A_{jk\pm}(\lambda) \varphi_{3,jk\pm}(\lambda, \pm(2k-1)b, \pm(2k-1)b) = f_{2k\pm}(\lambda, \pm(2k-1)b) \right].$$

(13)

где

$$f_{1k\pm}(\lambda, \pm(2k-1)b) = \int_{-\infty}^{\infty} F_{1k\pm}(x, \pm(2k-1)b) e^{i\lambda x} dx,$$

$$f_{2k\pm}(\lambda, \pm(2k-1)b) = \int_{-\infty}^{\infty} F_{2k\pm}(x, \pm(2k-1)b) e^{i\lambda x} dx.$$

(14)

Решая системы (13), определим функции $A_{jk\pm}(\lambda)$. Подставив значения этих функций в (6), получим выражения прогибов, а выражения усилий в полосах можно получить, применив к (6) операторы граничных условия $L(x, y)$.

Как следует из полученных выражений, для определения прогибов и внутренних усилий в полосах составной частью их являются усилия и деформации для бесконечной плиты. Поэтому приведем исследования усилий и деформаций в бесконечной плите для различных моделей оснований и равномерно распределенной нагрузки интенсивностью $q=100$ по площадке размером $0,1 \times 0,1$, приложенной в точке $(x_0=0, y_0=0)$, рис. 1.

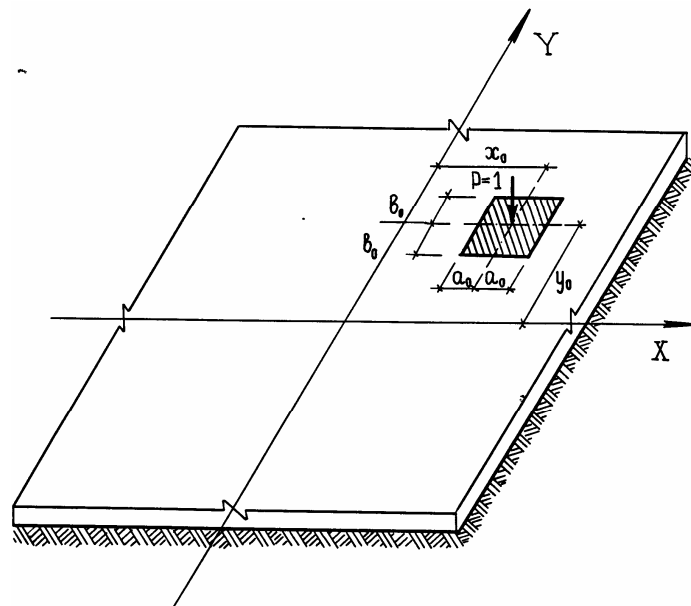


Рис.1. Расчетная схема бесконечной плиты, лежащей на упругом основании и нагруженной произвольной нагрузкой

В качестве линейно-деформируемого основания исследуем следующие типы моделей:

- изотропное полупространство;
- трансверсально-изотропное полупространство;
- комбинированное изотропное основание;
- комбинированное трансверсально-изотропное основание.

Как отмечалось выше, трансверсально-изотропное полупространство характеризуется модулями упругости и сдвига различными в вертикальном E_Z , G_Z и горизонтальном E_r , G_r направлениях. Степень анизотропии K_E упругого полупространства характеризуется отношением модуля упругости в вертикальном направлении E_Z к модулю упругости в горизонтальном направлении E_r

$$K_E = E_Z/E_r.$$

(14)

В случае равенства модулей упругостей $E_Z=E_r$ получим частный случай анизотропного основания – изотропное полупространство. Модули сдвигов для изотропного случая при $K_E=1$ определяются по выражению /26/

$$G_Z = G_r = E/2(1+\gamma_0),$$

(15)

где E и γ_0 – модуль упругости и коэффициент Пуассона изотропного основания.

Величина модуля сдвига G_r для анизотропного основания определяется по (15), а G_Z является независимой величиной, которая определяется экспериментально, но в силу того, что реальные грунты имеют всегда довольно низкое сопротивление сдвигу, в дальнейшем можно принимать всегда его наименьшее значение для всякого отношения модулей упругости K_E . Отсюда принимается:

при $K_E < 1$ модуль сдвига

$$G_Z = E_Z/2(1+\gamma_Z),$$

(16)

при $K_E > 1$ модуль сдвига

$$G_Z = E_Z/2(K_E + \gamma_Z).$$

(17)

Анизотропные основания также характеризуются коэффициентами Пуассона в вертикальном γ_Z и горизонтальном γ_r направлениях и для рассматриваемого случая трансверсально-изотропного полупространства они принимаются равными $\gamma_Z = \gamma_r$.

В зависимости от того, какие грунты служат основанием для плиты, значения

модулей упругостей могут меняться от значения, равного 50 МПа для гравелистых песков крупной и средней крупности [1], до значения 5,0 МПа для суглинков, а коэффициенты Пуассона грунта принимают значения от 0,30 для песков и супесей до 0,42 для глинистых грунтов. Исходя из этих характеристик найдем прогиб и другие расчетные величины при различных значениях физических параметров, которые примем следующими: $E_z = 2,0$ МПа ; 10 МПа , 50 МПа ; $E_r = 10$ МПа ; $\gamma_z = \gamma_r = 0,30$. Коэффициент Пуассона материала плиты $\gamma = 1/6$.

На основе этих данных построены эпюры прогибов и изгибающих моментов в бесконечной плите (рис.1), лежащей на вышеперечисленных моделях основания при действии заданной нагрузки.

На рис.1 приведены эпюры изгибающих моментов $M_x(x,y)$ в бесконечной плите, лежащей на трансверсально-изотропном полупространстве при действии на плиту равномерно распределенной нагрузки интенсивностью $q=100$ по площадке $0,1 \times 0,1$ с центром в точке $(x_0=0, y_0=0)$: кривая 1 – при $K_E=1$; кривая 2 – при $K_E=0,2$; кривая 3 – при $K_E=5$.

Полученные результаты показывают, что прогибы плиты, лежащей на упругом полупространстве (рис.1, кривые 2, 3, 6) меньше в 1,2 раза прогибов плиты на комбинированном основании (рис.1, кривые 1, 4, 5). Например, значение прогиба в точке $x=0$ для полупространства равно 0,276 (кривая 2), а для комбинированного основания – 0,342 (кривая 1). Значение изгибающего момента $M_x(x,y)$ в сечении $x=0,4$ для бесконечной плиты в случае модели основания в виде трансверсально-изотропного полупространства равно 0,062 (рис.1, кривая 1 при $K_E=1$), а для комбинированного основания – 0,083 (рис.1, кривая 2 при $K_E=1$). Отсюда следует, что при расчете конструкций на упругом основании выбор расчетной модели необходимо производить с учетом реальных свойств рассматриваемого грунтового основания.

Из рассмотренных эпюр также видно, что учет анизотропии основания приводит к существенному изменению значений деформаций изгибающих моментов. Так, например, значения изгибающего момента $M_x(x,y)$ в сечении $x=0$ увеличивается от значения 0,347 при $K_E=0,2$ (рис.1, кривая 2) до 0,369 при $K_E=5$ (рис.1, кривая 3).

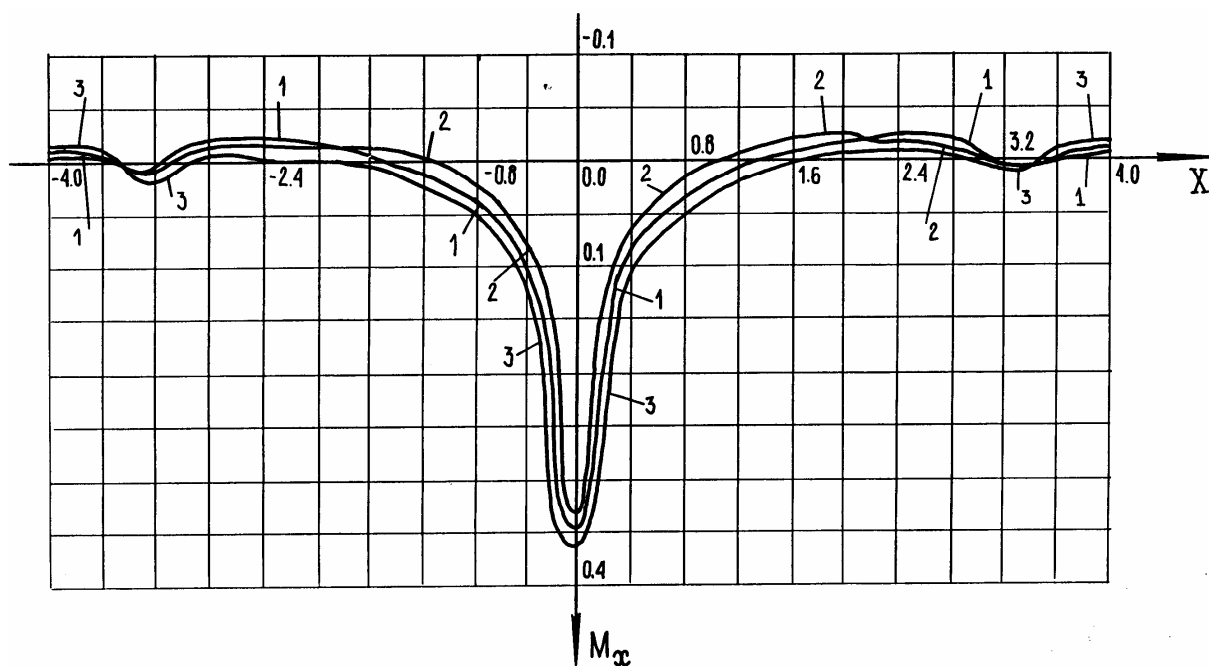


Рис.1. Эпюры загибающих моментов в бесконечной плите, нагруженной равномерно распределенной нагрузкой интенсивностью $q=100$ по площадке размером $0,1 \times 0,1$, с центром в точке (x_0, y_0)

Таким образом, на примере расчета бесконечной плиты, исследованы свойства и влияние принятой модели линейно-деформируемого основания на распределение деформаций и усилий в бесконечной плите. Также исследовано влияние анизотропии грунтового основания на распределение прогибов и изгибающих моментов при различных значениях показателя степени анизотропии K_E . Разработаны алгоритм и программа расчета бесконечной плиты с учетом вышеизложенных свойств и моделей упругого линейно-деформируемого основания.

Список литературы

1. Айталиев Ш.М., Масанов Ж.К., Аубакиров С.Б. Приближенный расчет устойчивости неоднородно-слоистых пород вблизи штрека несимметричного профиля // Проблемы механики подземных сооружений. – Тула: ТулПТИ. – 1982. – С. 8-9.
2. Дюсембаев И.Н. К расчету бесконечной полосы, лежащей на упругом анизотропном слоистом основании // Сб. научн. тр. Центральной исследовательской лаборатории строительных материалов. – Алматы: Бастау, 2002. – С.6-11.

